

# کنترل کمی ویژگی های ژئوتکنیکی خاک بهسازی شده با استفاده از نتایج CPT و CPTu

ابوالفضل اسلامی (دانشیار)

دانشکده مهندسی عمران، دانشگاه صنعتی امیرکبیر

میرعبدالحیمد مهرداد (استادیار)

محمد تقی خسروی (کارشناس ارشد)

دانشکده فنی و مهندسی، گروه عمران، دانشگاه گیلان

در پژوهش های بهسازی، اطمینان از حصول افزایش مقاومت و سختی کافی در خاک از اهمیت زیادی برخوردار است. به منظور کنترل و ارزیابی بهسازی می توان از آزمون های صحرابی و آزمایشگاهی و از جمله آزمایش نفوذ مخروط و مقایسه ای مقاومت نوک مخروط ( $q_u$ )، اصطکاک جداری ( $f_u$ ) و فشار آب حفره بی ( $u$ )، قبل و بعد از بهسازی استفاده کرد.

در تحقیق حاضر، روش های مختلف تعیین پارامترهای مهم ژئوتکنیک با استفاده از داده های CPT( $u$ ) به منظور کنترل کمی عمل بهسازی مورد بررسی قرار گرفته است. در همین راستا - شامل ۱۸ سایت با خاک دانه ای و ۵ سایت با خاک ریزدانه - که مورد بهسازی قرار گرفته و آزمایش نفوذ مخروط قبل و بعد از عمل بهسازی در آنها انجام شده بود، مورد تجزیه و تحلیل و نیز ارزیابی قرار گرفت. اغلب سایت های مورد نظر در کشورهای آمریکا، کانادا، مالزی و سنگاپور واقع اند و حدود ۷۵ پروfil (u) CPT مورد تحلیل قرار گرفت. پس از تجزیه داده های CPT( $u$ ) مورد نظر، پارامترهای ژئوتکنیک مهم ویژه برای کنترل کمی عمل بهسازی شامل تراکم نسبی ( $D_u$ )، نسبت پیش تجکیبی (OCR)، زاویه اصطکاک داخلی ( $\phi$ )، مقاومت بر شی زمکنی شده ( $S_u$ )، سرعت موج بر شی ( $V_s$ )، عدد مدول جانبی ( $m$ )، مدول ارجاعی یانگ ( $E$ ) و ضریب فشار جانبی خاک در حال سکون ( $K_0$ ) محاسبه شد. مقایسه ای نتایج پیشنهادی و نتایج ارائه شده توسط سایر محققین در این زمینه نطاپی خوبی مشاهده شد و با محاسبه موارد متعدد پارامترهای خاک، می توان ارزیابی از کفایت بهسازی به عمل آورد.

afeslami@aut.ac.ir  
mehrdad0@gilan.ac.ir  
ha1360@gmail.com

وازگان کلیدی: بهسازی خاک، کنترل کمی، آزمایش نفوذ مخروط، مقاومت نوک مخروط، فشار آب حفره بی.

## ۱. مقدمه

رفتار خاک ها، توسعه ای تکنولوژی و ابزار دقیق، آزمایشات درجا توسعه ای روزافزونی داشته است. انجام این نوع آزمایشات به جای آزمون های آزمایشگاهی برای بررسی رفتار خاک، از موضوعاتی است که به دلیل ضعف های فراوان آزمون های آزمایشگاهی (نظری مشکلات تهیه ای نمونه های دست نخورد)، محدودیت اندازه نمونه ها، حمل و نقل و نگهداری نمونه ها، مدل کردن تششی های واقعی در محل برای شرایط آزمایشگاهی و عدم پیوستگی اطلاعات و اندازه گیری ها در عمق) به امری متناول در مهندسی ژئوتکنیک تبدیل شده است. در میان این آزمایشات درجا، آزمایش نفوذ مخروط CPT، در مقایسه با سایر آزمایش ها به دلیل اطلاعات پیوسته از مقاومت نفوذ مخروط ( $q_u$ )، اصطکاک جداری ( $f_u$ )، کاهش انگذاری اپراتور بر نتایج آزمایش در مقابل آزمایش هایی مثل SPT، هزینه های بهینه در مقابل آزمایشی مثل PMT، و مزایای دیگر که ضعف آن را در مورد عدم توانایی نمونه گیری جبران می کند غالباً

برای بهبود وضعیت خاک های مسئله دار - از قبیل خاک های نرم و شل، خاک های انبساطی، خاک های رمینده و خاک ریزها - و نیز بهسازی آنها، چون به طور کامل برای تحمل بارهای سازه بی مناسب نیستند، از روش های ویژه ای استفاده می شود. اغلب به منظور کاهش نشست سازه، بهبود مقاومت بر شی خاک، افزایش ضریب اطمینان در مقابله لغزش شیروانی خاک ریزها و سدهای خاکی، و نیز به سبب کاهش خصوصیات تراکم و تورم خاک از شیوه های مختلفی از قبیل تراکم دینامیکی، و پره شناوری، تزریق، پیش بارگذاری، روش های حرارتی و ... برای بهسازی خاک های مسئله دار استفاده می شود.

با توسعه ای علوم، به خصوص ژئوتکنیک، در نیم قرن اخیر شناخت بهتر و کامل تر

تاریخ: دریافت ۲۹/۰۲/۱۳۸۶، داوری ۲۰/۰۶/۱۳۸۶، پذیرش ۱۴/۱۲/۱۳۸۶.

## ۲.۲. سرعت موج برشی

تعیین سرعت موج برشی در دو دهه‌ی اخیر مورد توجه بسیاری از محققین قرار گرفته است. از آزمایش CPT می‌توان مستقیماً به سرعت موج برشی ( $V_s$ ) دست یافت، ولی در بعضی موارد که تنها اطلاعات مربوط به  $q_c$  و  $f_s$  در اختیار بوده و نیاز به مقدار سرعت موج برشی  $V_s$  ضروری است، از فرمول‌های تجربی ارائه شده می‌توان استفاده کرد. براساس انجام آزمایشات مختلف CPT بر روی ماسه، رابطه‌ی ۲ توسط محققین پیشنهاد شد، که در این تحقیق از این رابطه برای تخمین مقدار  $V_s$  برای خاک دانه‌یی استفاده می‌شود.<sup>[۲]</sup>

$$V_s = 277 q_c^{0.13} \sigma_v'^{0.27} \quad (2)$$

و همچنین برای خاک ریزدانه رابطه‌ی ۳ پیشنهاد شده است:

$$V_s = 1,75 q_c^{0.62} \quad (3)$$

که در آن  $V_s$ : سرعت موج برشی (m/s)؛  
 $q_c$ : مقاومت نوک مخروط (MPa)؛  
 $\sigma_v'$ : تنش مؤثر قائم (MPa).

## ۳.۲. تراکم نسبی

معمولًا برای نشان دادن میران تراکم یا سستی (شالی) خاک‌های دانه‌یی در محل از «تراکم نسبی» استفاده می‌شود. یکی از مهم‌ترین پارامترهای ژئوتکنیک در زمینه‌ی تعیین کیفیت بهسازی خاک است. در این تحقیق از رابطه‌ی ۴ برای تعیین تراکم نسبی خاک‌های دانه‌یی استفاده می‌شود.<sup>[۱]</sup>

$$D_r' = \frac{1}{305 Q_c} \cdot \frac{q_c}{p_a} \cdot \left(\frac{\sigma_v'}{p_a}\right)^{0.5} \quad (4)$$

که در آن  $D_r'$ : تراکم نسبی؛

$Q_c$ : ضریب فشرده‌گی (تراکم پذیری بالا)  $< 1,09 > 0,91$  (تراکم پذیری پایین)، پارامترها و واحدهای مربوطه همانند معادله‌ی ۱ هستند.

## ۴.۲. مدول جانبی

یکی از پارامترهای مهم در تعیین کیفیت خاک بهسازی شده و ارزیابی‌های نشست، عدد مدول جانبی (m) است. به منظور تعیین عدد مدول جانبی در خاک دانه‌یی از رابطه‌ی ۵ استفاده می‌شود.<sup>[۲]</sup>

$$m = a \sqrt{\frac{q_c (p_a / \sigma_m')^{0.5}}{p_a}} \quad (5)$$

لازم به ذکر است که مقدار  $m'$  پس از به دست آوردن مقدار  $D_r$  از رابطه‌ی ۶ استخراج می‌شود.<sup>[۲]</sup>

$$D_r = \frac{1}{2,61} \ln\left(\frac{q_c}{181 (\sigma_m')^{0.55}}\right) \quad (6)$$

برای تعیین مدول جانبی در خاک ریزدانه، با برابر قراردادن فرم عمومی معادلات مربوط به نشست خاک که به صورت زیر می‌باشد:

$$M = \alpha_m \cdot q_c \quad (7)$$

به عنوان مناسب‌ترین آزمایش درجای ژئوتکنیکی مطرح است. در پروژه‌های بهسازی، اطمینان از حصول افزایش مقاومت و سختی مناسب در خاک از اهمیت بسیار زیادی برخوردار است. این امر معمولاً از طریق انجام عملیات ژئوتکنیک و مطالعات مکانیک خاک صورت پذیرفته و از روش‌های شناسایی صحرایی ژئوتکنیک به عنوان یک روش مهم برای طرح‌ریزی، اجرا و تصدیق اجرای پروژه‌های بهسازی خاک استفاده می‌شود.

یکی از کاربردهای تحقیقات محلی، ارزیابی خصوصیات درجای خاک، قبل و بعد از بهسازی است. آزمایش نفوذ مخروط نیز یکی از آزمایش‌های مفید و مؤثر در همین زمینه است. آزمایش CPT دارای خصوصیت تکرار پذیری بوده و پروفیل قائم پیوسته‌ی از خاک تهیه می‌کند. در اغلب سایت‌هایی که نیاز به بهسازی دارند، خاک‌های سست و اشباع وجود دارند و تهیه‌ی نمونه‌های دست‌نفوذ زمان بزر و پرهزینه است و همچنین با مشاهدات خاک جمع‌آوری شده نمی‌توان به لنزها و لایه‌های خاک به خوبی پی برد ولی با استفاده از آزمایش CPT لنزهایی از خاک تشخیص داده شده و این مسئله بسیار مهم بوده و دلیل آن تغییرات ضریب نفوذ پذیری خاک حتی در لایه‌های نازک بوده که تأثیر بسزایی بر تراکم پذیری و تأثیرات زمان دارند. علاوه بر اندازه‌گیری  $q_c$  و  $f_s$ ، به کمک آزمایش CPTu می‌توان اضافه فشار منفذی را حین نفوذ به دست آورده که در تشریح و شناسایی خاک‌ها نقش مهمی ایفا می‌کند. به منظور کشتل و ارزیابی بهسازی می‌توان از آزمایش نفوذ مخروط و مقابله‌ی مقاومت نوک، مقاومت اصطکاکی و فشار حفره‌یی آب قبل و بعد از بهسازی استفاده کرد. هدف از این مقاله ارزیابی مقادیر کمی داده‌های CPTu، CPT و همچنین پارامترهای ژئوتکنیک حاصل از نتایج این آزمایش بوده که به کمک آنها با دقت بیشتری می‌توان راجع به کفایت سیستم‌های مختلف بهسازی بحث کرد.

## ۲. روش‌های تعیین پارامترهای ژئوتکنیک با استفاده از CPTu و CPT

با استفاده از داده‌های آزمایش نفوذ مخروط اغلب پارامترهای ژئوتکنیکی خاک را می‌توان به دست آورد. در این نوشتار به روش‌های تعیین پارامترهای ژئوتکنیک مهم و ویژه در تعیین کیفیت خاک بهسازی شده با استفاده از نتایج آزمایش CPTu و CPTu پرداخته می‌شود. لازم به ذکر است برای تعیین هریک از این پارامترها روش‌های مختلفی وجود دارد که با توجه به جامع و کلی بودن روش به کارگرفته شده برای انواع خاک‌ها اعم از ریزدانه و درشت‌دانه تنها به ذکر روش به کارگرفته شده اکتفا می‌شود.

### ۲.۱. زاویه‌ی اصطکاک داخلی

یکی از پارامترهای بسیار مهم در فعالیت‌های ژئوتکنیکی، مقدار زاویه اصطکاک داخلی φ است. به منظور به دست آوردن این پارامتر در خاک‌های دانه‌یی از رابطه‌ی ۱ استفاده می‌شود.<sup>[۱]</sup>

$$\phi' = 17.6 + 11 \log \frac{q_c/p_a}{\sqrt{\sigma_v'/p_a}} \quad (1)$$

که در آن  $q_c$ : مقاومت نوک اندازه‌گیری شده (کیلو پاسکال)؛

$\sigma_v'$ : تنش مؤثر سربار (کیلو پاسکال)؛

$p_a$ : فشار مرجع به قرار  $10^0$  کیلو پاسکال.

$$(8) M = mp_a \left( \frac{\sigma'_v}{p_a} \right)^{(1-a')}$$

رابطه‌ی عمومی ۹ برای خاک ریزدانه به کارگرفته می‌شود.

$$(9) m = \frac{\alpha_m \cdot q_c}{p_a \left( \frac{\sigma'_v}{p_a} \right)^{(1-a')}}$$

که در آن  $M$ : مدول نشست خاک;  $m$ : عدد مدول جانبی؛  $a'$ : توان تنش (در میانگین تنش پیشتحکیمی برابر واحد است);  $a$ : مدول اصلاحی تحکیمی؛  $\alpha_m$ : ضریب تحریبی.

## ۵.۲ مقاومت برشی زهکشی نشده

مقاومت برشی زهکشی نشده درجا ( $S_u$ ) بستگی به شکل گسیختگی، غیرایزوتروپی خاک، نسبت کرنش و تاریخچه‌ی تنش دارد و یکی از پارامترهای ویژه خاک ریزدانه‌ی بهسازی شده است. بهمنظور تخمین  $S_u$  برای خاک ریزدانه، در این نوشتار از رابطه‌ی ۱۰ استفاده می‌شود:<sup>[۱]</sup>

$$(10) S_u = \frac{q_c - \sigma_{vo}}{N_k}$$

که در آن  $s_u$ : مقاومت برشی زهکشی نشده؛  $\sigma_{vo}$ : تنش کل سربار؛  $N_k$ : ضریب نوک مخروطی. در سال ۱۹۷۸ نشان داده شد که برای رس‌های پیشتحکیم یافته بدون ترک، مقدار  $N_k$  به طور میانگین ۱۷ است.<sup>[۴]</sup> پس از آن در سال ۱۹۸۱ نشان دادند که برای رس‌های دریابی عادی تحکیم یافته این مقدار بین ۱۱ تا ۱۹ متغیر بوده و مقدار میانگین آن ۱۵ است.<sup>[۵]</sup>

## ۶.۲ ضریب فشار جانی خاک در حال سکون

یکی دیگر از پارامترهای ژئوتکنیک که در تعیین کیفیت بهسازی خاک نقش اساسی دارد، ضریب فشار جانی خاک در حال سکون است. برای تعیین این پارامتر در خاک ریزدانه از رابطه‌ی ۱۱ استفاده می‌شود.<sup>[۱]</sup>

$$(11) K_o = \frac{q_c - \sigma_{vo}}{\sigma'_{vo}}$$

که در آن  $K_o$ : ضریب فشار جانی خاک در حال سکون است.

## ۷.۲ نسبت پیشتحکیمی

نسبت پیشتحکیمی عبارت است از نسبت بیشینه‌ی تنشی که خاک در گذشته تحمل کرده به تنش سربار موجود. این نسبت یکی از مهم‌ترین پارامترهای ویژه در تعیین کیفیت خاک ریزدانه‌ی بهسازی شده است.

در سال ۱۹۷۷، بهمنظور محاسبه‌ی OCR در ایالات متحده روش معروف (Rابطه‌ی ۱۲) ارائه شد.<sup>[۱]</sup> در این نوشتار، برای خاک ریزدانه از این رابطه برای تخمین OCR (نسبت پیشتحکیمی) استفاده می‌شود:

$$(12) OCR = \left[ \frac{S_u}{0.4\sigma'} \right]^{1/0.85}$$

۸.۲ مدول ارجاعی یانگ  
مدول ارجاعی یانگ (E) از مهم‌ترین پارامترهای تعییر شکل کشسان خاک به شمار می‌رود. بهمنظور بدست آوردن مدول کشسانی از نتایج ارائه شده توسط محققین در سال ۱۹۹۹ استفاده می‌شود.<sup>[۱]</sup> که در آن E برای ماسه‌ها ۲ تا ۵ برابر  $q_c$  و برای خاک‌های لای‌دار و رسی ۱ تا ۲ برابر  $q_c$  پیشنهاد شده است.

## ۳. موارد عملی

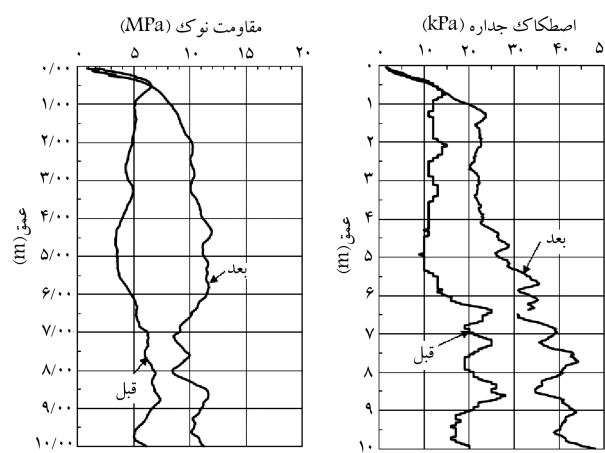
برای بررسی کمی عمل بهسازی بر روی خاک‌های اصلاح شده، دسترسی به نتایج آزمایشات CPT و CPTu در سایت‌هایی که عمل بهسازی در آن مناطق صورت گرفته ضرورت داشت. انجام آزمایشات مذکور قبل و بعد از بهسازی در سایت‌های مورد نظر از ضروریات بود. بدین‌منظور نتایج آزمایشات CPT و CPTu در ۲۳ سایت شامل ۱۸ سایت با خاک دانه‌ی و ۵ سایت با خاک ریزدانه که مورد بهسازی قرار گرفته و آزمایشات فوق قبل و بعد از عمل بهسازی در آنها انجام شده بودند، جمع‌آوری شد. اغلب سایت‌های مورد نظر در کشورهای آمریکا، کانادا، مالزی، سنگاپور و تایلند واقع بود و حدود ۷۵ لوگ CPT و CPTu تجزیه و تحلیل شدند. در ادامه، این موارد عملی به اختصار معرفی می‌شوند.

### ۱.۳ فرودگاه هنگ‌کنگ

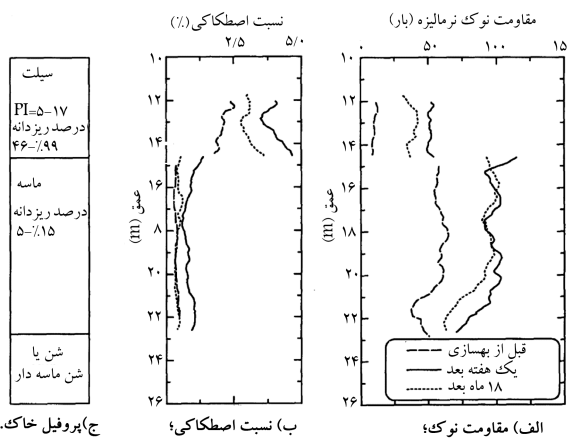
این پروژه‌ی اجرایی مربوط به پروژه‌ی بازیابی زمین برای ساخت فرودگاه هنگ‌کنگ است. خاک منطقه اساساً شامل ماسه‌ی شل و سست بوده و نواحی متواتی شامل ماسه‌ی لای‌دار بوده و تراز آب زیرزمینی در ۱ متری سطح زمین واقع است. برای بهسازی منطقه از روش ویبره شناوری استفاده شد. نتایج آزمایش CPT در این سایت در شکل ۱ ارائه شده است.<sup>[۱۰]</sup>

### ۲.۳ نیروگاه رودخانه‌ی سنت جان<sup>۲</sup> (در آمریکا)

این سایت در فلوریدای آمریکا واقع شده است و بهمنظور بهسازی خاک آن از روش ترکیبی تراکم دینامیکی و ترزیق تراکمی استفاده شد. برای بهسازی خاک ماسه‌ی خلیی سست و به همراه رس لای‌دار (از عمق صفر تا ۱۰ متر) از تراکم دینامیکی



شکل ۱. مقادیر مقایسه‌ی داده‌های CPT (q<sub>c</sub> و f<sub>f</sub>) قبل و بعد از تراکم در سایت فرودگاه هنگ‌کنگ.<sup>[۱۰]</sup>



شکل ۲. مقاومت متوسط نوک CPT و نسبت اصطکاکی در منطقه‌ی آزمایشی رودخانه‌ی ساکرامنتو.<sup>[۱۵]</sup>

### ۹.۳. سد جبا<sup>۹</sup> (در نیجریه)

این سایت در کشور نیجریه و در آبرفت رودخانه بنا شده است. آبرفت بستر رودخانه شامل ماسه‌ی تمیز ریزدانه تا درشت‌دانه بوده و روی هم رفته متوسط اندازه ذرات معادل ۱ میلی‌متر است. از روش ویره شناوری به‌منظور متراکم‌سازی تا عمق ۲۵ متر استفاده شده و زیر این عمق و تا عمق ۴۰ متر از روش انفجار استفاده شد.<sup>[۱۶]</sup>

### ۱۰.۳. جزیره‌ی تریشور<sup>۱۰</sup> (در آمریکا)

به‌منظور ارزیابی رفتار زهکش‌های مرکب قائم، از روش انفجار کنترل شده برای ماسه‌ی سست روان‌گرایی در این سایت آزمایشی، واقع در جزیره‌ی تریشور در جنوب سانفرانسیسکو، استفاده شد. به‌طور کالی ماسه در رده‌ی مصالح SP-SM بوده و در زیر این ماسه، تا عمق ۷/۵ متر ماسه‌ی لای‌دار (SM) بود. در طول آزمایش، تراز سطح آب زیرزمینی تقریباً ۱۵٪ متر زیر سطح زمین بود.<sup>[۱۷]</sup>

### ۱۱.۳. منطقه‌ی آزمایشی مطالعات روان‌گرایی کانادا<sup>۱۱</sup>

در این سایت که در ونکوور کانادا واقع شده، از روش انفجار کنترل شده به‌منظور ارزیابی رفتار زهکش‌های مرکب قائم استفاده شد. خاک منطقه ماسه‌ی لای‌دار و لایه‌های لای تا عمق ۵ متر بوده و زیر این لایه و تا عمق ۱۵ متر ماسه‌ی تمیز سست قرار داشت. ماسه‌ی تمیز عموماً ماسه‌ی SP بود، و در طول آزمایشات سطح تراز آب تقریباً ۲/۸ متر زیر سطح زمین بود.<sup>[۱۸]</sup>

### ۱۲.۳. فرودگاه چانگی سنگاپور<sup>۱۲</sup>

در سایت مورد نظر که در فرودگاه شرقی چانگی سنگاپور واقع شده، لایه‌ی فوکانی خاک ریز ماسه‌ی لای‌رویی شده بوده و لایه‌ی زیرین نهشته‌ی رس نرم به‌ضخامت بیش از ۳۵ متر بود. به‌منظور بهسازی رس نرم، روش پیش‌بارگذاری و استفاده از زهکش قائم به کار گرفته شد. پس از تحکیم لایه‌های رس، لایه‌ی ماسه‌ی به روش ویره شناوری تا عمق ۱۰ متر متراکم شد.<sup>[۱۹]</sup>

استفاده شده و برای بهسازی خاک ماسه‌ی نیمه‌متراکم که مقدار لای ورس آن از لایه‌ی فوق بیشتر است (از عمق ۱۰ تا ۱۷ متر) از تزریق تراکمی به روش پایین به بالا استفاده شد.<sup>[۱۱]</sup>

### ۳. سد غربی پینتوبولیس<sup>۳</sup> (در آمریکا)

این سایت در کارولینای جنوبی آمریکا واقع شده و در آن از تزریق تراکمی به روش پایین به بالا برای بهسازی ماسه‌ی لای‌دار خیلی سست تا سست - تقریباً در عمق بین ۹ تا ۱۱/۴ متر - استفاده شد. لایه‌ی موردنظر (عمق ۹ تا ۱۱/۴ متری) عموماً دارای ۱۰ تا ۲۰ درصد ریزدانه بوده و اندازه‌ی متوسط ذرات ( $D_{50}$ ) حدود ۰/۳ تا ۰/۶ میلی‌متر بود.<sup>[۱۲]</sup>

### ۴.۳. سد کریک<sup>۴</sup> (در آمریکا)

پروژه‌ی مورد نظر به بررسی یک برنامه‌ی آزمایشی در زمینه‌ی تزریق تراکمی به روش پایین به بالا، به‌منظور متراکم کردن یک لایه‌ی ماسه‌ی رس دار (SC) شل تا خیلی شل به‌ضخامت حدود ۱۲ متر در فونداسیون سد مزبور واقع در کارولینای جنوبی آمریکا می‌پردازد. لایه‌ی مورد نظر شامل ۲۰ درصد ریزدانه بوده و لایه‌ی زیرین آن ماسه‌ی رس دار SP-SC است.<sup>[۱۳]</sup>

### ۵. زیردریایی کایسر<sup>۵</sup> (در گرجستان)

برای بهسازی خاک، این سایت دریایی، که در گرجستان واقع شده، از روش ترکیبی تراکم دینامیکی و تزریق تراکمی (به روش پایین به بالا) استفاده شد. بهسازی برای خاک به‌ضخامت بیشتر از ۱۵ متر مورد استفاده قرار گرفته که خاک مورد نظر اغلب شامل ماسه‌ی ریزدانه و ماسه‌ی رس دار، لایی یا رس در اعماق مختلف بودند. به‌طور کالی ماسه‌ی لای‌دار، ماسه‌ی رس دار، لایی یا رس در اعماق مختلف بودند. به‌طور کالی خاک ماسه‌ی زیر این مورد نظر حاوی ۵ تا ۲۶ درصد ریزدانه بود.<sup>[۱۴]</sup>

### ۶. ساخت‌وساز در رودخانه‌ی ساکرامنتو<sup>۶</sup> (در آمریکا)

سایت مورد نظر در راستای رودخانه‌ی ساکرامنتو در ایالت کالیفرنیا واقع شده که در آن، برای بهسازی خاک منطقه از تزریق تراکمی به روش پایین به بالا استفاده شد. به‌منظور انجام این کار، لایه‌ی ماسه‌ی مستعد روان‌گرایی به عمق ۱۴ تا ۲۳ متر، و کمتر از ۲ متر خاک لای‌دار که در بالای لایه‌ی موردنظر قرار داشته و داری درون لایه‌ی ماسه‌ی لای‌دار هستند، در نظر گرفته شد. نتایج آزمایش CPT در این سایت در شکل ۲ ارائه شده است.<sup>[۱۵]</sup>

### ۷. پنجه‌ی آبرفتی در منطقه‌ی کوهستانی و سنج<sup>۷</sup> آمریکا

در این سایت عمده‌ی پروفیل خاک از گل روان بوده که شامل لایه‌ی ماسه‌یی با لایه‌های نازک شن سیلتی است. این پروژه برای بررسی تأثیر درصد رطوبت بر کارایی تراکم دینامیکی، در ۶ منطقه با درصد رطوبت میانگین مختلف انجام شد.<sup>[۱۶]</sup>

### ۸.۳. نیروگاه فلوریدای آمریکا<sup>۸</sup>

در پروژه‌ی مورد نظر کاربرد ترکیبی تراکم دینامیکی و تزریق تراکمی (به روش پایین به بالا) برای بهسازی خاک نیروگاه فلوریدا بررسی شده است. خاک مورد نظر شامل ماسه‌ی ریز خیلی شل تا متراکم با لزهای از لایی و رس لای‌دار بود.<sup>[۱۷]</sup>

به منظور تحقیق و بررسی اثرات پیش‌بارگذاری استاتیکی بر بهسازی خاک در مقابل مقادیر نشست بوده است.<sup>[۲۵]</sup>

### ۱۳.۳. بندر مراك اندونزى<sup>۱۳</sup>

پروژه مورد نظر به ساخت یک اسکله‌ی جدید به منظور تسهیلات باربرداری و موج‌شکن در بندر مراك واقع در اندونزی می‌پردازد. ناحیه‌ی پشت دیواره‌ی اسکله با ماسه‌ی لاپوبی شده پر شد و همچنین برای پایداری پاشنه‌ی دیوار از خاکریز ماسه‌ی استفاده شد. کار بهسازی خاک، متراکم‌کردن ماسه‌ی لاپوبی و رساندن آن به تراکم نسبی ۷۰ درصد به روش ویره شناوری بود.<sup>[۱۹]</sup>

### ۱۴.۳. ترمیتال واندو<sup>۱۴</sup> (در آمریکا)

این سایت در استگاه واندو در منطقه‌ی چارلستون، و در ناحیه‌ی جنوبی کارولینای آمریکا واقع است. اغلب خاک این منطقه ماسه‌ی سست تمیز است که برای بالابردن مقاومت خاک و بهسازی آن از روش ویره شناوری استفاده شد.<sup>[۲۰]</sup>

### ۱۵.۳. ایستگاه فالون<sup>۱۵</sup> (در آمریکا)

از ستون‌های سنگی به منظور افزایش ظرفیت باربری، کاهش نشست و کاهش پتانسیل روان‌گرایی برای یک پروژه‌ی ساختمان‌سازی در منطقه‌ی فالون، واقع در فالون نوادای آمریکا استفاده شد. خاک‌های سطحی از عمق ۲ تا ۵ فوت، شامل ماسه با تراکم متوسط و ماسه‌ی لاپی دار ریزدانه بود. در مناطق محدودی از سایت، در نزدیکی سطح زمین، لزهایی از لاپی با سفتی متوسط یا خاک‌های رسی موجود بود. از عمق ۵ تا ۲۰ فوتی، عموماً خاک شامل ماسه‌ی تمیز تا لاپی دار سست تا نیمه‌متراکم بود.<sup>[۲۱]</sup>

### ۱۶.۳. بندر مپ تا پوت<sup>۱۶</sup> (در تایلند)

این سایت در منطقه‌ی بازیابی شده بندر مپ تا پوت در کشور تایلند واقع است. منطقه‌ی مورد نظر توسط روش هیدرولیکی و با بهکارگیری ماسه‌های نسبتاً تمیز تا ارتفاع ۱۲ متر بازیابی شد و برای بهسازی خاک از روش تراکم دینامیکی استفاده شد.<sup>[۲۲]</sup>

### ۱۷.۳. ایستگاه زغالسنگ مسی<sup>۱۷</sup> (در آمریکا)

خاک سایت مورد نظر که در ویرجینیا آمریکا واقع شده، اغلب ماسه‌ی لاپی دار سست است. برای ساخت ایستگاه نیاز به بهسازی خاک بود، که از روش تراکم دینامیکی به عنوان مؤثربین شیوه استفاده شد.<sup>[۲۳]</sup>

### ۱۸.۳. مجتمع الومینیوم المهدی (در بندرعباس - ایران)

پروژه مورد نظر، محل احداث مجتمع الومینیوم المهدی در منطقه‌ی چین خورده‌ی رازگرس در بندر عباس است. این سایت بر روی آبرفت طبیعی واقع شده و به عملت نشست غیرمتقارن پی‌ها، ماهیت روان‌گرایی خاک و احتمال وقوع پدیده‌ی روان‌گرایی خط‌زنگ است. در این راستا برای اصلاح خاک، روش تراکم دینامیکی پیشنهاد شد.<sup>[۲۴]</sup>

### ۱۹.۳. جاده‌ی ایگناتیای جدید (در یونان)<sup>۱۸</sup>

این سایت آزمایشی، در جاده‌ی ایگناتیای جدید، نزدیک شهر لاگاداس در شمال شرقی تسالونیکی یونان واقع شده است. خاک حاکم بر این منطقه شامل مصالح ریزدانه (خصوصاً رس CL و CH) بود. هدف از این پروژه، مطالعه‌ی صحرایی

**۲۰. سایت چانگی شرقی<sup>۱۹</sup> (در سنگاپور)**  
پروژه‌ی مورد نظر در سایت بازیابی شده چانگی شرقی در راستای خط ساحلی شرق فرودگاه چانگی واقع در سنگاپور انجام شده است. خاک منطقه رسی نرم تا متوسط بوده و از روش تکیبی پیش‌بارگذاری با بهره‌گیری از زهکش قائم، به منظور بهسازی استفاده شد.<sup>[۲۶]</sup>

### ۲۱. نیروگاه سانتاریتا<sup>۲۰</sup> (در فیلیپین)

در این سایت که در نیروگاه سانتاریتا فیلیپین واقع شده، بر روی لاپی رسی نرم (اغلب رس لای‌دار) ناشی از فعالیت‌های کشاورزی قرار دارد. شرایط زیرسطحی ضعیف و بالا بودن خطر لرزه‌خیزی منطقه موجب شد تا از روش نصب ستون سنگی به منظور بهسازی خاک قبل از ساخت خاکریز استفاده شود.<sup>[۱۹]</sup>

### ۲۲. بلوار پوتراجایا<sup>۲۱</sup> (در مالزی)

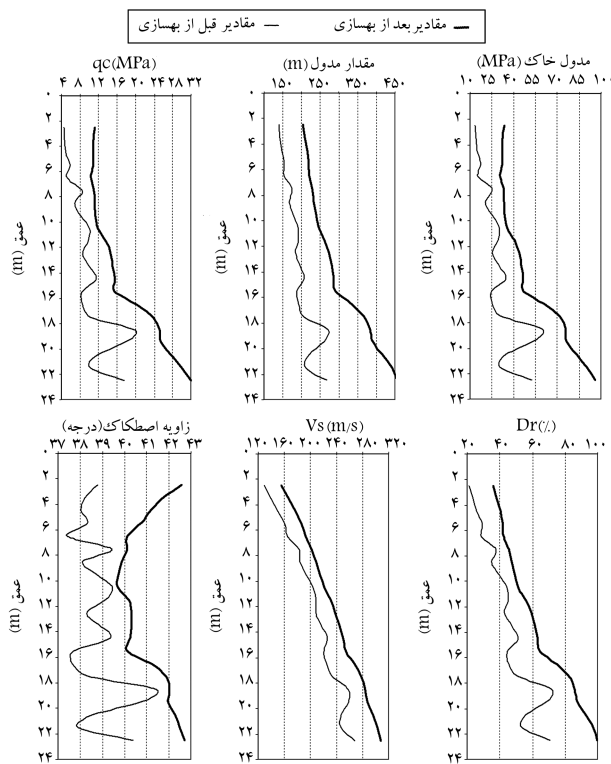
به منظور ساخت بلواری در پوتراجایا مالزی نیاز به ساخت خاکریزی تا ارتفاع ۱۸ متر بود. وجود رس‌های آلی نرم (دارای مقاومت برشی در حدود ۵ تا ۷ کیلوپاسکال)، و حاوی حدود ۱۰ تا ۲۰ درصد مواد آلی) در این منطقه مشکلاتی در زمینه‌ی پایداری خاکریز ایجاد کرد. در این راستا، برای بهسازی خاک از روش نصب ستون سنگی استفاده شد.<sup>[۱۹]</sup>

### ۲۳. سایت آزمایشی ونکور<sup>۲۲</sup> (در کانادا)

پروفیل خاک این سایت شامل تقریباً ۶ متر لاپی رس‌دار و لاپی ماسه‌ی است که بر روی ماسه‌ی متوسط قرار دارند. اغلب خاک این منطقه ضعیف بوده و به همین علت، برای احداث تأسیسات لازم نیازمند بهسازی است. برای انجام این بهسازی از روش تراکم دینامیکی استفاده شد.<sup>[۲۷]</sup>

## ۴. تجزیه، تحلیل و بررسی موارد عملی

برای انجام تحقیق، خاک به دو رده‌ی ریزدانه‌ی رسی و درشت‌دانه‌ی ماسه‌ی تقسیم‌بندی شد. با استفاده از روش‌های موجود در تعیین طبقه‌بندی خاک و با بهکارگیری داده‌های آزمایش نفوذ مخروط، نوع خاک مورد مطالعه در سایت‌های مذکور مشخص شدند. چنان‌که پیش‌تر مطرح شد، سایت ۲۳ این سایت با خاک‌دانه‌ی و ۵ سایت با خاک ریزدانه مورد تحقیق و بررسی قرار گرفتند. در CPT کلیه‌ی سایت‌ها عمل بهسازی در اعمق مختلف صورت گرفت و آزمایشات CPTu به منظور کنترل کیفی عمل بهسازی - قبل و بعد از بهسازی خاک - انجام شد. برای به دست آوردن پارامترهای زنوتکنیک مهم و ویژه، برای کنترل کمی عمل بهسازی، تجزیه‌ی داده‌های CPT و CPTu ضروری است. برای انجام این عمل، پروفیل‌های این آزمایش، به ازای هر ۲۰ سانتی‌متر و تا عمق حدکش ۲۰ متری مورد تجزیه و تحلیل قرار گرفتند. لازم به ذکر است در زمینه‌ی روان‌گرایی، اغلب خاک‌های دانه‌ی تا عمق ۲۰ متری مورد تحلیل و بررسی قرار می‌گیرند. به همین سبب در این تحقیق، در سایت‌های با خاک دانه‌ی بیشترین عمق تجزیه معادل ۲۰ متر در نظر گرفته شد.



شکل ۴. نمودارهای حاصل از تجزیه داده‌های CPT و پارامترهای ژئوتکنیک به دست آمده (سد جبا) - مقادیر بعد از بھسازی - مقادیر قبل از بھسازی.

کلی ارائه شدند. نمونه‌یی از جداول مربوط به نتایج CPT و CPTu و پارامترهای ژئوتکنیک حاصله به صورت محدوده‌یی کمی در سایت‌های مختلف در جداول ۱ و ۲ (به ترتیب برای خاک دانه‌یی و ریزدانه) نشان داده شده است.

نتایجی که از تجزیه و تحلیل داده‌های CPT و CPTu به دست آمده مربوط به زمان‌های قبل و بعد از بھسازی خاک است. برای ارائه‌ی جداول کمی در زمینه‌ی مقایسه‌ی کیفیت نوع خاک بھسازی شده، به پارامترهای ویژه‌یی اهمیت داده شد. در این زمینه، برای خاک‌های دانه‌یی بیشتر به مقادیر مقاومت نوک مخروط ( $q_c$ ) و تراکم نسبی ( $D_r$ ) توجه شده، در حالی که برای خاک‌های ریزدانه به مقادیر مقاومت نوک مخروط ( $q_u$ ) و مقاومت برشی زکشی نشده ( $S'_u$ ) توجه بیشتری شده است.

یکی از اهداف این تحقیق، بررسی کیفیت خاک بھسازی شده بوده است. بدین منظور، خاک دانه‌یی بھسازی شده از لحاظ تراکم چنین طبقه‌بندی شد: ۱. خیلی شل؛ ۲. شل؛ ۳. تراکم متوسط؛ ۴. مترکم؛ ۵. خیلی متراکم. در خاک‌های دانه‌یی نتایج مقایسه‌یی در زمینه‌ی پارامترهای زیر ارائه شد:

۱. مقاومت نوک مخروط ( $q_c$ ) بر حسب مگاپاسکال؛ ۲. عدد مدول جانبی ( $m$ )؛ ۳. مدول کشسانی خاک ( $E$ ) بر حسب مگاپاسکال؛ ۴. زاویه اصطکاک داخلی ( $\phi$ )؛ ۵. سرعت موج برشی ( $V_s$ ) بر حسب متر بر ثانیه؛ ۶. تراکم نسبی ( $D_r$ ) بر حسب درصد؛ ۷. نسبت اصطکاکی ( $F_R = \frac{f_s}{q_c}$ ).

در خاک‌های ریزدانه، برخلاف خاک‌های دانه‌یی، به علت محدودیت در بانک اطلاعاتی، نتایج به صورت کلی ارائه شدند. طبقه‌بندی خاک چنین انجام شد: ۱. نرم؛ ۲. متوسط تا سفت؛ ۳. سفت تا خیلی سفت.

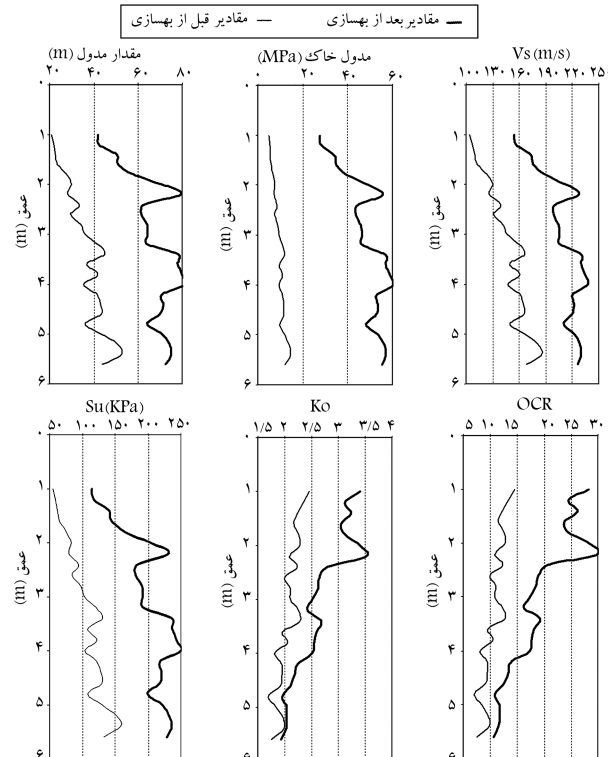
در خاک‌های ریزدانه پارامترهای بررسی شده عبارت‌اند از: ۱. مقاومت نوک

پس از تجزیه‌ی داده‌های CPT و CPTu و تبدیل پروفیل‌ها به اعداد دقیق، نیاز مبرم به اطلاعات مربوط به پارامترهای ژئوتکنیک وجود دارد. با استفاده از فرمول‌های مذکور و همچنین با به کارگیری داده‌های CPT و CPTu، پارامترهای مهم ژئوتکنیک در زمینه‌ی کنترل کمی عمل بھسازی، در اعماق مختلف (به ازای هر ۲۰ سانتی‌متر) به دست آمدند.

آنچه که هدف این نوشتار ارائه‌ی مقایسه‌ی نتایج بھسازی به صورت کمی است، برای محدودکردن نتایج و به دست آوردن محدوده‌یی مناسب از مقادیر حاصل از تجزیه‌ی داده‌های CPTu و CPT، این نتایج به صورت نموداری نیز ارائه شدند. شکل‌های ۳ و ۴ نمونه‌یی از نمودارهای حاصل از تجزیه‌ی داده‌های CPTu و CPT، قبل و بعد از بھسازی، و نیز پارامترهای ژئوتکنیک به دست آمده را نشان می‌دهند.

برای مقایسه‌ی نتایج بھسازی خاک (قبل و بعد از اصلاح خاک) و تشخیص نوع خاک بھسازی شده از لحاظ کیفیت (به عنوان مثال برای خاک دانه‌یی از لحاظ شل یا مترکم بودن)، محدودکردن نمودارهای حاصله به صورت کمی و ارائه‌ی حدود پارامترهای مختلف ژئوتکنیک به صورت عددی ضرورت می‌یابد. در این زمینه، به علت در اختیار داشتن سایت‌های مختلف در مردم خاک‌های دانه‌یی که تا عمق ۲۰ متری مورد تجزیه و تحلیل قرار گرفته‌اند، اعماق محدودتر با دقت بیشتری مورد بررسی قرار گرفت؛ این اعماق به ۴ محدوده‌یی ۵ متری تقسیم‌بندی شد و هر محدوده به صورت مجرماً مورد تجزیه قرار گرفت.

یاد آور می‌شود به علت محدودبودن متابع اطلاعاتی و در اختیار نداشتن سایت و بانک اطلاعاتی مختلف و گستردۀ در زمینه‌ی خاک‌های ریزدانه، نتایج به صورت



شکل ۳. نمودارهای حاصل از تجزیه داده‌های CPTu و پارامترهای ژئوتکنیک به دست آمده (نیروگاه سانتاریتای فیلیپین) - مقادیر بعد از بھسازی - مقادیر قبل از بھسازی.

جدول ۱. نمونه‌یی از محدوده نتایج CPT و پارامترهای ژئوتکنیک حاصله به صورت کمی در سایتهای مختلف (خاک دانه‌یی) [پارامترهای ژئوتکنیکی، قبل از بهسازی با حرف "b" و بعد از بهسازی با حرف "a"] تفکیک شده اند.

عمق (m)	نام سایت و مرجع	qc(b) (Mpa)	qc(a) (Mpa)	m(b)	m(a)	E(b) (Mpa)	E(a) (Mpa)	$\phi(b)$	$\phi(a)$	Vs(b) (m/s)	Vs(a) (m/s)	Dr(b) %	Dr(a) %
۰-۵	سنت جان [۱۱]	۴-۶	۸-۱۰	۱۶۰-۱۷۰	۲۴۰-۲۶۰	۱۰-۲۵	۵۰-۶۰	۳۷-۴۰	۴۰-۴۲	۱۳۵-۱۴۰	۱۵۰-۱۶۵	۳۰-۳۵	۴۰-۵۰
۵-۱۰		۴-۵/۵	۱۰-۲۱	۱۶۰-۱۸۰	۲۷۰-۴۵۰	۱۷-۲۰	۶۰-۱۰۰	۳۶-۳۸	۴۰-۴۳/۵	۱۵۰-۱۷۰	۱۸۰-۲۳۰	۳۵-۴۰	۶۰-۹۵
۱۰-۱۵		۵-۸	۱۴-۲۲	۱۸۰-۲۱۰	۲۵۰-۴۷۰	۲۰-۳۰	۸۰-۱۱۰	۳۶-۳۸	۴۰-۴۳	۱۸۰-۲۰۰	۲۳۰-۲۵۰	۴۵-۵۵	۷۵-۹۵
۵-۱۰	پیشوپولیس [۱۲]	۲/۵-۴	۱۰-۱۳	۱۳۰-۱۵۰	۲۲۰-۳۵۰	۱۰-۱۵	۶۵-۸۰	۳۲-۳۵	۳۹,۵-۴۰	۱۷۰-۱۷۵	۲۰۵-۲۱۵	۳۰-۳۵	۶۰-۷۰
۱۰-۱۵		۲-۲/۵	۹-۱۳	۱۳۰-۱۴۰	۳۰۰-۳۶۰	۸-۱۰	۶۰-۸۰	۳۱,۵-۳۲	۳۸,۵-۴۰/۵	۱۶۵-۱۷۵	۲۱۰-۲۲۰	۲۵-۳۰	۶۰-۷۳
۵-۱۰	سد	۲-۳	۴-۵	۱۲۰-۱۲۵	۲۰۰-۲۲۵	۴-۶	۱۵-۲۰	۳۳,۵-۳۴,۵	۳۵-۳۶,۵	۱۵۵-۱۶۵	۱۷۵-۱۸۵	۲۵-۳۰	۳۵-۴۵
۱۰-۱۵	کریک [۱۳]	۳-۶	۵-۸	۱۲۵-۱۶۰	۲۲۰-۲۷۰	۵-۱۲	۲۰-۳۵	۳۴-۳۶,۵	۳۵,۵-۳۸	۱۶۰-۱۹۰	۱۸۰-۲۱۰	۳۰-۴۵	۴۰-۶۰
۰-۵	زیر اساس دریایی کایسر [۱۴]	۴-۱۰	۶-۱۲	۱۱۰-۱۵۰	۲۲۰-۲۸۰	۱۰-۳۰	۲۵-۴۰	۴۰-۴۲	۴۰-۴۳	۱۲۵-۱۴۵	۱۴۰-۱۶۵	۳۰-۴۵	۳۵-۵۵
۵-۱۰		۴-۱۴	۱۰-۲۰	۱۰۰-۲۲۵	۲۰۰-۴۵۰	۲۰-۰۰	۴۰-۶۰	۳۹-۴۱	۴۰-۴۳	۱۶۰-۲۰۰	۱۹۰-۲۳۰	۴۰-۷۰	۶۰-۸۰
۱۰-۱۵		۲-۵	۴-۱۰	۱۰۰-۱۵۰	۲۲۰-۳۵۰	۵-۱۵	۱۵-۳۵	۳۰,۵-۳۲	۳۲-۳۸	۱۰۵-۱۷۰	۱۸۵-۲۲۰	۲۵-۴۰	۳۵-۶۵
۰-۵	نیروگاه فلوریدا [۱۵]	۳-۵	۹-۱۰	۱۲۰-۱۳۰	۲۴۰-۲۵۰	۱۰-۱۵	۳۵-۴۰	۳۷-۳۹	۴۰-۴۱	۱۳۵-۱۴۵	۱۶۵-۱۸۰	۳۰-۳۵	۵۰-۵۵
۵-۱۰		۴-۵/۵	۱۲-۲۲	۱۲۵-۱۴۵	۲۸۰-۴۰۰	۱۲-۱۷	۴۰-۸۰	۳۷-۳۸	۴۰-۴۲	۱۵۰-۱۷۰	۱۹۰-۲۲۰	۳۰-۴۰	۶۰-۹۰
۱۰-۱۵		۵-۸	۱۲-۲۲	۱۵۰-۱۷۰	۲۵۰-۴۲۵	۱۰-۲۵	۵۰-۸۰	۳۶-۳۸	۳۹-۴۲	۱۸۰-۲۰۰	۲۴۰-۲۶۰	۴۵-۵۲	۸۰-۹۵
۰-۵	سد جبارا [۱۶]	۴-۶	۱۰-۱۲	۱۴۰-۱۵۰	۲۰۰-۲۲۰	۱۲-۱۸	۳۰-۳۵	۳۸-۳۹	۴۱-۴۲,۵	۱۳۰-۱۵۰	۱۶۰-۱۸۰	۲۰-۳۰	۳۵-۴۵
۵-۱۰		۵-۹	۱۰-۱۱,۵	۱۵۰-۱۸۰	۲۲۰-۲۵۰	۱۰-۲۵	۳۰-۳۵	۳۷,۵-۳۹	۴۰-۴۱	۱۶۰-۱۹۰	۱۹۰-۲۲۰	۳۰-۴۰	۴۰-۵۰
۱۰-۱۵		۸-۱۱	۱۲,۵-۱۵	۱۸۰-۲۰۵	۲۵۰-۲۹۰	۲۰-۳۳	۳۵-۴۸	۳۸,۵-۳۹,۵	۳۹,۵-۴۰,۵	۲۰۰-۲۲۵	۲۲۵-۲۵۰	۴۰-۵۰	۵۵-۶۵
۱۵-۲۰		۹-۱۵	۱۹-۲۵	۱۹۰-۲۶۰	۳۰۰-۳۹۰	۲۰-۵۰	۵۰-۷۵	۳۸-۴۱	۴۰-۴۲	۲۲۵-۲۵۰	۲۶۰-۲۸۵	۵۰-۶۰	۷۰-۹۰
۰-۵		۴-۸	۷-۹	۱۵۰-۲۰۰	۲۰۰-۲۵۰	۱۰-۲۳	۲۵-۳۸	۳۸-۴۱	۴۰-۴۳	۱۲۰-۱۴۰	۱۴۰-۱۶۰	۳۵-۵۰	۴۵-۶۰
۵-۱۰	جزیره تریشور [۱۸]	۲/۵-۴	۳-۵	۱۴۰-۱۶۰	۱۸۰-۱۹۰	۸-۱۲	۱۲-۲۰	۳۵-۳۶,۵	۳۶-۳۸	۱۳۵-۱۵۰	۱۵۰-۱۶۰	۲۵-۳۵	۳۰-۴۰
۰-۵	فرودگاه چانگکی [۱۹]	۶-۱۰	۱۲-۱۷	۱۵۰-۲۰۰	۲۶۰-۳۳۰	۱۰-۳۰	۵۰-۷۰	۳۸-۴۱	۴۳-۴۵	۱۲۰-۱۴۵	۱۴۵-۱۸۵	۳۰-۴۵	۵۰-۶۵
۵-۱۰	بندر مرکزی [۲۰]	۵-۸/۵	۱۵-۲۰	۱۷۵-۲۰۰	۳۰۰-۴۰۰	۱۸-۲۵	۶۰-۸۰	۳۷,۵-۴۰,۵	۴۱-۴۴	۱۶۰-۱۸۰	۲۰۰-۲۲۰	۴۰-۵۰	۷۰-۸۰
۰-۵	ترمیتال واندو [۲۱]	۴-۶	۱۶-۱۸/۵	۱۵۰-۱۸۰	۲۵۰-۳۲۰	۱۰-۲۰	۶۰-۷۵	۳۸-۳۹,۵	۴۳-۴۴,۵	۱۳۰-۱۵۰	۱۷۰-۲۰۰	۳۰-۴۰	۶۰-۷۵
۵-۱۰		۴-۶/۵	۱۵-۲۱	۱۵۰-۲۰۰	۳۰۰-۳۸۰	۱۰-۲۰	۶۰-۸۵	۳۵,۵-۳۷,۵	۴۱-۴۳	۱۶۰-۱۸۵	۲۰۰-۲۳۵	۳۰-۴۵	۷۰-۹۵
۱۰-۱۵		۲-۳	۸-۱۲	۱۳۰-۱۴۰	۲۲۰-۲۶۰	۸-۹	۳۰-۵۰	۳۲,۵-۳۴	۳۸,۵-۴۰,۵	۱۵۰-۱۶۰	۱۹۰-۲۲۰	۱۹-۲۱	۴۵-۶۰
۱۵-۲۰	هندگنگ [۱۰]	۱,۵-۲,۵	۱۳,۵-۱۵	۱۳۰-۱۴۰	۲۷۵-۳۰۵	۸-۹	۵۵-۶۰	۳۱,۵-۳۲	۳۹,۵-۴۰,۵	۱۶۰-۱۷۰	۲۲۰-۲۴۰	۲۰-۲۲	۶۰-۷۰
۱۵-۲۰		۱,۵-۲,۵	۱۲,۵-۱۴	۱۳۰-۱۴۰	۲۰۰-۳۱۰	۸-۹	۵۰-۵۵	۳۰,۵-۳۱,۵	۳۹-۴۰	۱۷۵-۱۸۵	۲۴۵-۲۶۰	۲۰-۲۲	۶۰-۷۰
۰-۵	فرودگاه هنگ کنگ [۱۱]	۳-۵	۹-۱۱,۵	۱۶۰-۲۴۰	۲۷۰-۴۵۰	۱۱-۲۰	۵۲-۷۰	۳۵,۵-۴۰	۴۱,۵-۴۳	۱۱۵-۱۴۰	۱۳۰-۱۷۵	۲۵-۳۵	۳۸-۵۰
۵-۱۰		۳-۷	۹-۱۱,۵	۱۶۰-۱۹۰	۲۰۰-۳۶۰	۱۳-۲۸	۵۳-۷۰	۳۵,۵-۳۸	۳۹,۵-۴۱,۵	۱۴۰-۱۷۵	۱۸۰-۲۰۵	۲۸-۴۰	۵۰-۶۰
۰-۵	سایت وسنج [۱۶]	۱-۴	۴-۱۰	۸۰-۱۰۰	۱۶۰-۲۲۰	۳-۱۰	۲۰-۴۵	۳۱-۳۴	۳۵-۴۰	۱۰۰-۱۱۵	۱۲۵-۱۵۰	۱۵-۲۰	۲۵-۴۰
۱۰-۲۰	سایت سکارامانتو [۱۵]	۵-۶	۹-۱۱	۱۴۰-۱۷۰	۲۴۰-۲۸۰	۱۳-۱۸	۳۵-۴۲	۳۵-۳۷	۳۷-۳۹	۱۸۰-۲۱۰	۲۱۵-۲۴۰	۴۰-۵۰	۶۰-۶۵
۰-۵	سایت آزمایشی ونکور [۱۸]	۵-۶	۸-۱۱	۱۶۰-۱۸۰	۲۵۰-۴۰۰	۱۳-۱۹	۳۵-۴۵	۳۶,۵-۳۸	۳۸,۵-۴۰	۱۷۰-۱۸۰	۱۹۰-۲۲۰	۳۸-۴۵	۵۰-۷۰
۱۰-۱۵		۵-۷	۹-۱۲	۱۸۰-۲۰۵	۲۷۵-۳۲۵	۱۰-۲۲	۳۵-۴۵	۳۶-۳۷,۵	۳۸,۵-۴۰	۱۸۵-۲۰۰	۲۱۰-۲۳۰	۴۰-۵۰	۶۰-۷۲
۰-۵	ایستگاه فالون [۲۱]	۶-۱۱	۱۳-۱۹	۱۵۰-۲۰۰	۳۰۰-۴۰۰	۲۰-۳۰	۶۰-۸۰	۳۹-۴۰,۵	۴۴-۴۵,۵	۱۲۰-۱۵۰	۱۴۰-۱۷۰	۳۰-۴۰	۵۰-۷۵
۰-۵	مپ تپوت [۲۲]	۶-۱۰	۱۸-۲۲	۲۰۰-۳۰۰	۳۵۰-۴۵۰	۱۰-۳۵	۵۰-۸۵	۳۴-۳۸	۴۳-۴۶	۱۲۵-۱۴۵	۱۶۰-۱۹۰	۳۵-۴۵	۶۰-۹۰
۵-۱۰		۴-۸	۱۰-۲۲	۱۵۰-۲۲۰	۲۵۰-۳۵۰	۱۰-۳۰	۳۰-۷۰	۳۲,۵-۳۴	۳۸-۴۴	۱۶۰-۱۸۰	۲۰۰-۲۲۰	۳۵-۵۰	۶۵-۹۵
۰-۵	ایستگاه زغال سنگ مسی [۲۳]	۲/۵-۵	۱۲-۱۴,۵	۱۳۰-۱۶۰	۲۲۵-۲۸۵	۱۰-۱۷	۴۰-۵۵	۳۳,۵-۳۵,۵	۴۱-۴۲,۵	۱۲۰-۱۴۵	۱۵۰-۱۸۰	۲۵-۳۵	۴۵-۶۵
۵-۱۰		۴-۵/۵۰	۸-۱۴	۱۶۰-۱۸۰	۲۵۰-۳۰۰	۱۲-۱۸	۳۰-۵۵	۳۴-۳۵	۳۸-۴۱	۱۰۰-۱۶۵	۱۸۵-۲۰۰	۳۲-۴۰	۵۰-۷۰
۰-۵	مجتمع آلمانیوم المهدی [۲۴]	۲-۴	۸-۱۷	۱۴۰-۱۵۰	۲۲۵-۳۲۵	۸-۱۱	۲۵-۵۵	۳۲-۳۴,۵	۳۸,۵-۴۴	۱۲۰-۱۵۵	۱۴۰-۱۸۰	۲۰-۳۲	۴۵-۷۵

جدول ۲. نمونه‌ی از محدوده‌ی نتایج CPTu و پارامترهای ژئوتکنیک حاصله به صورت کمی در سایت‌های مختلف (خاک ریزدانه) [پارامترهای ژئوتکنیکی، قبل از بهسازی با حرف "b" و بعد از بهسازی با حرف "a" تفکیک شده‌اند].

نام سایت و مرجع	عمق (m)	qc(b) (Mpa)	qc(a) (Mpa)	fs(b) (kpa)	fs(a) (kpa)	m(b)	m(a)	E(b) (Mpa)	E(a) (Mpa)	u(b) (kpa)	u(a) (kpa)
نیروگاه ساتراتیتی فیلیپین [۱۹]	۰-۵	۲,۰-۴	۰,۰-۷,۰	۱۷۰-۲۶۰	۲۰۰-۳۶۰	۳۰-۴۵	۶۰-۸۰	۸-۱۳	۴-۶۰	(-۱۰)-(+۳)	(-۲۵)-(-۵)
	عمق (m)	Ko(b)	Ko(a)	OCR(b)	OCR(a)	Fr(b)	Fr(a)	Vs(b)	Vs(a)	su(b)	su(a)
	۰-۵	۲-۳	۳-۴,۵	۱۰-۲۰	۱۵-۳۵	۶-۷,۵	۳,۵-۶	۱۳۰-۱۷۰	۱۹۰-۲۳۰	۷۵-۱۳۰	۱۷۵-۲۵۰
بلوار پوتروجایایی [۲۰]	عمق (m)	qc(b) (Mpa)	qc(a) (Mpa)	fs(b) (kpa)	fs(a) (kpa)	m(b)	m(a)	E(b) (Mpa)	E(a) (Mpa)	u(b) (kpa)	u(a) (kpa)
	۰-۵	۲,۰-۴	۴-۵,۵	۱۵۰-۲۱۰	۲۰۰-۳۵۰	۳۵-۴۵	۴۵-۶۰	۲۰-۳۰	۳۰-۴۲	(-۱۰)-(-۵)	(-۲۵)-(-۱۰)
	۵-۱۰	۳-۴	۶-۷	۲۰۰-۲۵۰	۳۵۰-۴۰۰	۳۵-۵۰	۶۵-۷۵	۲۰-۳۰	۴۵-۵۵	(-۱۵)-(-۱۰)	(-۲۵)-(-۱۰)
مالزی [۲۱]	عمق (m)	Ko(b)	Ko(a)	OCR(b)	OCR(a)	Fr(b)	Fr(a)	Vs(b)	Vs(a)	su(b)	su(a)
	۰-۵	۲,۰-۳,۵	۲,۰-۳,۵	۱۵-۲۵	۱۵-۳۰	۵-۶	۵,۰-۶,۵	۱۳۰-۱۶۰	۱۶۰-۱۹۵	۹۰-۱۳۰	۱۲۵-۱۷۰
	۵-۱۰	۱,۸-۲,۳	۲-۲,۰	۱۰-۱۵	۱۲-۱۵	۵,۰-۶	۵,۰-۶,۵	۱۵۰-۱۸۰	۲۱۰-۲۳۰	۱۰۰-۱۵۰	۲۰۰-۲۳۰
سایت چانگی [۲۲]	عمق (m)	qc(b) (Mpa)	qc(a) (Mpa)	fs(b) (kpa)	fs(a) (kpa)	m(b)	m(a)	E(b) (Mpa)	E(a) (Mpa)	u(b) (kpa)	u(a) (kpa)
	۰-۵	۲,۰-۳,۵	۴-۶	۱۰۰-۱۶۰	۱۷۰-۲۴۰	۲۵-۴۰	۴۵-۶۵	۱۵-۲۵	۳۵-۵۵	(-۳)-(+۵)	(-۱۸)-(-۷)
	۵-۱۰	۳-۴	۴,۰-۶,۵	۲۰۰-۲۲۰	۲۵۰-۳۵۰	۳۵-۴۵	۴۵-۶۵	۲۰-۳۰	۴۰-۶۵	(-۳)-(+۳)	(-۲)-(-۵)
[۲۳] شرقی	عمق (m)	Ko(b)	Ko(a)	OCR(b)	OCR(a)	Fr(b)	Fr(a)	Vs(b)	Vs(a)	su(b)	su(a)
	۰-۵	۲-۴,۰	۲,۰-۴,۵	۱۰-۳۰	۱۵-۳۰	۴-۶,۰	۴-۵	۱۳۰-۱۵۰	۱۶۰-۲۰۰	۷۵-۱۱۰	۱۲۵-۱۷۵
	۵-۱۰	۱,۷-۲,۱	۱,۷-۲,۵	۵-۱۰	۵-۱۵	۵-۶,۰	۴-۶	۱۴۵-۱۶۰	۱۷۰-۲۱۰	۱۰۰-۱۲۵	۱۵۰-۱۸۰
جاده‌ی ایگاتایی جدید [۲۴]	عمق (m)	qc(b) (Mpa)	qc(a) (Mpa)	fs(b) (kpa)	fs(a) (kpa)	m(b)	m(a)	E(b) (Mpa)	E(a) (Mpa)	u(b) (kpa)	u(a) (kpa)
	۰-۵	۱-۳	۴-۶,۰	۱۰۰-۲۰۰	۲۰۰-۳۲۰	۱۵-۳۰	۵۰-۷۵	۱-۱۰	۳۵-۵۵	(-۲)-(+۲)	(-۱۴)-(-۶)
	عمق (m)	Ko(b)	Ko(a)	OCR(b)	OCR(a)	Fr(b)	Fr(a)	Vs(b)	Vs(a)	su(b)	su(a)
[۲۵] سایت آزمایشی ونکور [۲۶]	۰-۵	۹-۰-۱۳۰	۱۷۰-۲۱۵	۵۰-۱۰۰	۱۵۰-۲۲۰	۲-۲,۵	۲,۸-۳,۸	۱۰-۱۵	۱۵-۲۵	۶-۱۰	۳-۶
	عمق (m)	qc(b) (Mpa)	qc(a) (Mpa)	fs(b) (kpa)	fs(a) (kpa)	m(b)	m(a)	E(b) (Mpa)	E(a) (Mpa)	u(b) (kpa)	u(a) (kpa)
	۰-۵	۰,۰-۵-۲	۳-۵,۵	۱۱۰-۱۶۰	۱۸۰-۲۳۰	۸-۲۰	۴۰-۶۵	۵-۱۵	۳۰-۵۰	(-۱)-(+۴)	(-۶)-(-۱۰)
[۲۷]	۵-۱۰	۰,۰-۵-۱,۵	۵-۶,۰	۲۰۰-۲۴۰	۲۷۰-۳۶۰	۵-۱۵	۵۰-۷۰	۵-۱۰	۴۵-۶۰	۳-۵	(-۱۰)-(-۵)
	عمق (m)	Ko(b)	Ko(a)	OCR(b)	OCR(a)	Fr(b)	Fr(a)	Vs(b)	Vs(a)	su(b)	su(a)
	۰-۵	۱-۲	۲-۳	۲-۱۰	۱۰-۲۰	۴,۰-۶,۰	۴-۵,۰	۵۰-۱۱۰	۱۵۰-۲۰۰	۲۵-۶۰	۱۲۵-۱۷۵
	۵-۱۰	۱-۱,۰	۲-۲,۰	۱-۵	۱۰-۱۵	۵-۶,۰	۴,۰-۶	۶۰-۹۰	۱۹۰-۲۲۰	۲۰-۵۰	۱۶۰-۲۲۰

همچنین توجه و مقایسه با نتایج سایر محققین در این زمینه، نتایج نهایی به صورت جداولی برای خاک‌های دانه‌بی (جدول ۳) و خاک‌های ریزدانه (جدول ۴) ارائه شدند. در راستای ارائه یک سری نتایج درمورد طبقه‌بندی نوع خاک از لحاظ کمی در پیش‌تحکیمی (OCR)، ضریب فشارگanjی خاک در حال سکون ( $k_0$ )، سرعت پیش‌تحکیمی ( $V_s$ )، نسبت اصطکاکی ( $F_R$ )، مقاومت برشی ( $S_u$ )، عدد مدول جانبی (m)، مدل کشسانی خاک (E) بر حسب مگاپاسکال، مقاومت برشی زهکشی شده (su)، بر حسب کیلوپاسکال، سرعت موج برشی (Vs)، نسبت اصطکاکی (F<sub>R</sub>)، نسبت اصطکاکی (F<sub>R</sub>)، ضریب فشارگanjی خاک در حال سکون (k<sub>0</sub>)، پس از تجزیه و تحلیل، یا به عبارتی کشاورزی قرار دادن مقادیر فوق، و بررسی مقادیر پارامترهای ژئوتکنیک و پیشنهاد محدوده متناسب در این زمینه،

جدول ۳. تحلیلی و نتایج نهایی (خاک دانه‌بی).

عمق (متر)	تراکم	qc (Mpa)	m	E (Mpa)	$\phi$	Vs (m/s)	Dr %	Fr %
۰-۵	خیلی شل	< ۲	۱۰-۱۱°	< ۶	< ۳۱	< ۱۰°	< ۱۵	> ۱,۵
	شل	۲-۴	۱۱°-۱۳°	۶-۱۲	۳۱-۳۴	۱۰۰-۱۴۰	۱۵-۲۵	۱,۱-۱,۵
	تراکم متوسط	۴-۶	۱۳°-۱۸°	۱۲-۲۰	۳۴-۳۸	۱۴۰-۱۶۰	۲۵-۴۵	۰,۹-۱,۱
	متراکم	۶-۱۲	۱۸°-۲۵°	۲۰-۴۰	۳۸-۴۰	۱۶۰-۱۹۰	۴۵-۶۵	۰,۸-۰,۹
	خیلی متراکم	> ۱۲	۲۵°-۳۵°	۴۰-۸۰	> ۴۰	> ۱۹۰	> ۶۵	< ۰,۶
۵-۱۰	خیلی شل	< ۲,۵	۱۰۰-۱۲۵	< ۸	< ۳۲	< ۱۳°	< ۲۰	> ۱,۴
	شل	۲,۵-۵	۱۲۵-۱۵۰	۸-۱۵	۳۲-۳۵	۱۳۰-۱۷۰	۲۰-۳۵	۱,۲-۱,۴
	تراکم متوسط	۵-۱۰	۱۵۰-۲۰۰	۱۵-۲۵	۳۵-۳۸	۱۷۰-۱۹۰	۳۵-۵۵	۰,۸-۱,۲
	متراکم	۱۰-۱۶	۲۰۰-۳۲۵	۲۵-۵۰	۳۸-۴۱	۱۹۰-۲۲۰	۵۵-۷۰	۰,۵-۰,۸
	خیلی متراکم	> ۱۶	۳۲۵-۴۰۰	۵۰-۸۵	> ۴۱	> ۲۲۰	> ۷۰	< ۰,۵
۱۰-۱۵	خیلی شل	< ۳	۱۱۰-۱۳۰	< ۸	< ۳۲	< ۱۵°	< ۲۵	> ۱,۴
	شل	۳-۵	۱۳۰-۱۵۰	۸-۲۰	۳۲-۳۶	۱۵۰-۱۸۰	۲۵-۴۰	۱,۲-۱,۴
	تراکم متوسط	۵-۱۲	۱۵۰-۲۲۰	۲۰-۳۵	۳۶-۴۰	۱۸۰-۲۲۰	۴۰-۶۰	۰,۷-۱,۲
	متراکم	۱۲-۲۰	۲۲۰-۴۰۰	۳۵-۶۵	۴۰-۴۲	۲۲۰-۲۵۰	۶۰-۸۰	۰,۴۵-۰,۷
	خیلی متراکم	> ۲۰	> ۴۰۰	> ۶۵	> ۴۲	> ۲۵۰	> ۸۰	< ۰,۴۵
۱۵-۲۰	خیلی شل	< ۵	۱۳۰-۱۵۰	< ۱۰	< ۳۲	< ۱۷۰	< ۲۵	> ۱,۲
	شل	۵-۸	۱۵۰-۱۸۰	۱۰-۳۰	۳۲-۳۸	۱۷۰-۲۲۰	۲۵-۴۵	۱,۰-۱,۲
	تراکم متوسط	۸-۱۵	۱۸۰-۲۵۰	۳۰-۵۵	۳۸-۴۱	۲۲۰-۲۴۰	۴۵-۶۵	۰,۸-۱,۰
	متراکم	۱۵-۲۲	۲۵۰-۴۲۵	۵۵-۷۵	۴۱-۴۴	۲۴۰-۲۷۵	۶۵-۸۵	۰,۳-۰,۶
	خیلی متراکم	> ۲۲	> ۴۲۵	> ۷۵	> ۴۴	> ۲۷۵	> ۸۵	< ۰,۳

جدول ۴. تحلیل و نتایج نهایی (خاک ریزدانه).

	qc	m (Mpa)	E (Mpa)	Vs (m/s)	su (kpa)	Fr %	OCR	Ko
	(Mpa)		(Mpa)	(m/s)	(kpa)	%		
نرم	< ۱,۵	۰-۱۵	< ۱۰	< ۱۰۰	< ۶۰	۶-۸	< ۵	< ۱
متوسط تا سفت	۱,۵-۴	۱۰-۴۰	۱۰-۴۰	۱۰۰-۱۹۰	۶۰-۱۳۰	۴-۶	۵-۱۲	۱-۲
soft تا خیلی سفت	> ۴	> ۴۰	> ۴۰	> ۱۹۰	> ۱۳۰	< ۴	> ۱۲	> ۲

جدول ۵. رائے برخی مشخصات زئوتکنیکی، در شرایط مختلف تراکم خاک های دانه‌بی.<sup>[۲۹]</sup>

وضعیت خاک	خیلی شل	شل	تراکم متوسط	متراکم	خیلی متراکم
پارامترهای زئوتکنیک					
(kg/cm <sup>2</sup> )CPT حاصل از q <sub>c</sub>	< ۵۰	۵۰-۱۰۰	۱۰۰-۱۵۰	۱۵۰-۲۰۰	> ۲۰۰
D <sub>r</sub> (%) دانسیته نسبی (%)	< ۱۵	۱۵-۳۵	۳۵-۶۵	۶۵-۸۵	۸۵-۱۰۰
زاویه اصطکاک داخلی	< ۳۰	۳۰-۳۲	۳۲-۳۵	۳۵-۳۸	> ۳۸

حقیقین بسیاری مطالعات گستردگی انجام داده‌اند؛ نمونه‌بی از این تحقیقات در جداول ۵ و ۶ نشان داده شده است. بر اساس بررسی دقیق نتایج ارائه شده‌ی سایر محققین و نگاه کلی به این مقادیر و همچنین بررسی جداول کمی پیشنهادی، می‌توان به این نتیجه دست یافت که مقادیر پیشنهادی حاصل از بررسی‌های موارد عملی به این نتیجه دست یافت که مقادیر پیشنهادی حاصل از بررسی‌های سازه‌بی کاملاً مناسب نیستند، از در این تحقیق با نتایج ارائه شده توسط سایر محققین اختلاف چندانی ندارد و در محدوده‌ی مناسب و منطقی قرار دارد.

## ۵. نتیجه‌گیری

از آنجا که خاک‌های مسئله‌دار (نظیر خاک‌های نرم و شل، خاک‌های انبساطی، خاک‌های رمبند و خاک‌ریزها) برای تحمل بارهای سازه‌بی کاملاً مناسب نیستند، از روش‌های ویژه‌بی برای بهبود وضعیت خاک و بهسازی آن استفاده می‌شود. در این بروزه‌ها، اطمینان از حصول افزایش مقاومت کافی در خاک بسیار پرآهمیت است که

بهسازی و در حالت تراکم متوسط آن حدوداً ۲ برابر شده است؛ در حالت خیلی متراکم نیز مقدار  $q_c$  حدوداً بزرگتر از ۱۵ مگاپاسکال می شود. نتایج حاصله با مقادیر ارائه شده در سال ۱۹۵۶ مطابقت دارد.<sup>[۲۹]</sup>

- در خاک ریزدانه، قبل از بهسازی و در حالت خاک نرم مقادیر  $q_c$  کوچکتر از ۱/۵ مگاپاسکال بوده و بعد از بهسازی و در حالت خاک متوسط تا سفت این مقدار تا حدود ۴ مگاپاسکال افزایش یافته است؛ در حالت خاک سفت تا خیلی سفت این مقدار بزرگتر از ۴ مگاپاسکال شده است. این مقادیر با نتایج ارائه شده در سال ۱۹۷۵ سازگار است.<sup>[۳۰]</sup>
- مقدار تراکم نسبی در خاک دانه‌یی، قبل از بهسازی و در حالت خاک شل، حدوداً کمتر از ۲۰ درصد بوده است. این مقدار در فواصل عمقی مختلف تغییر کرده و بعد از بهسازی و در حالت تراکم متوسط  $D_c$  حدوداً ۳ برابر شده است؛ در حالت خیلی متراکم این مقدار حدوداً بزرگتر از ۷۵ درصد می شود. مقادیر به دست آمده با نتایج ارائه شده در سال ۱۹۵۶ تطبیق مناسبی دارد.<sup>[۲۹]</sup>
- مقدار مقاومت برشی زهکشی نشده در خاک ریزدانه، قبل از بهسازی و در حالت خاک نرم، حدوداً کمتر از ۶۰ کیلوپاسکال است. بعد از بهسازی و در حالت خاک متوسط تا سفت این مقدار ۱/۵ تا ۲ برابر شده و در حالت خاک سفت تا خیلی سفت مقدار  $u_c$  حدوداً بزرگتر از ۱۳۰ مگاپاسکال شده است. مقادیر حاصله با نتایج ارائه شده در سال ۱۹۷۵ سازگاری نسبی دارد.<sup>[۳۰]</sup>
- علی رغم محدودیت در داده‌های CPT(u) و پراکندگی مقادیر فشار آب منفذی  $u_c$  پس از بهسازی، می‌توان به این نکته اشاره کرد که با انجام آزمایش CPT(u) بالاچاله پس از بهسازی خاک، بیشتر مقادیر فشار آب منفذی اندازه‌گیری شده در شانه‌ی مخروط  $u_c$  منفی می‌شود که دلیل آن انبساط آنی خاک ریزدانه پس از بهسازی است.

جدول ۶. برخی مشخصات ژئوتکنیکی، در شرایط مختلف تراکم خاک‌های ریزدانه.<sup>[۳۰]</sup>

وضعیت خاک	نرم	متوسط	سخت تا خیلی سخت
پارامترهای ژئوتکنیک	تا سفت	تا سفت	خیلی سخت
(kg/cm <sup>2</sup> )CPT $q_c$ حاصل از	< ۱۰	۱۰-۵۰	> ۵۰
(kg/cm <sup>2</sup> )s <sub>u</sub> حاصل از تک محور	< ۰/۵	۰-۱	۱-۲

با انجام آزمایش‌های درجا به خصوص آزمایش نفوذ مخروط به دلیل تعدد داده‌ها، پیوستگی آنها و نیز اقتصادی بودن آن، می‌توان به این مهم دست یافت.

با مقایسه‌ی داده‌های آزمایش CPT در زمان قبیل و بعد از بهسازی می‌توان به کفایت سیستم‌های مختلف بهسازی پی برد. برای دست یابی به هدف فوق، ۲۳ سایت که مورد بهسازی قرار گرفته بود، و نیز آزمایش CPT و CPTu در آن مناطق قبیل و بعد از بهسازی، که حدوداً ۷۵ پروفیل CPT و CPTu را شامل می‌شود- مورد بررسی و تحلیل قرار گرفتند. تحلیل و بررسی‌ها بر روی این داده‌ها تا عمق ۲۰ متری و به ازای هر ۲۰ سانتی‌متر انجام شد. در پایان جداولی برای ارزیابی بهسازی به صورت کمی پیشنهاد شدند. نتایجی که از تحقیق فوق برمی‌آید می‌توان چنین خلاصه کرد:

• با توجه به جداول پیشنهادی، بعد از عمل بهسازی تمامی پارامترهای مورد نظر افزایش یافته است (با استثناء نسبت اصطکاکی که کاهش می‌یابد). این مورد با نتایج ارائه شده توسط محققین (در سال ۲۰۰۴) مطابقت دارد.<sup>[۲۸]</sup>

• در خاک دانه‌یی، قبل از بهسازی در حالت خاک شل مقادیر  $q_c$  کوچکتر از ۵ مگاپاسکال است. این مقادیر در بازه‌های عمقی مختلف تغییر کرده و بعد از

## پانوشت

1. Hong Kong airport
2. ST. John river power plant-U.S.A
3. pinopolis west dam-U.S.A
4. steel creek dam-U.S.A
5. kaiser submarine base-Georgia
6. sacramento river-U.S.A
7. wastach mountain-U.S.A
8. florida power plant-U.S.A
9. jebba dam-Nigeria
10. treasure island-U.S.A
11. canadian liquefaction experiment
12. changi airport- Singapore
13. merak port-Indonesia
14. wando terminal-U.S.A
15. fallon station- U.S.A
16. map ta put port-Thailand
17. massey coal terminal-U.S.A
18. new egnatia road-Greece
19. Changi east site-Singapore
20. santa rita power plant-Philippine

21. putrajaya boulvared-Malaysia
22. vancouver test site-Canada

## منابع

1. Kulhawy, F.H., and Mayne, P.W. "Manual on estimating soil properties for foundation design," Electric Power Research Institute, Palo Alto, Calif (1990).
2. Baldi, G.; Bellotti, R.; Ghionna, V.; Jamiolkowski, M., and Pasqualini, E. "Interpretation of CPTs and CP-TUs," *Proceedings of the Fourth International Geotechnical Seminar, Singapore*, pp. 143-156 (1986).
3. Massarsch, K. R. "Design aspects of deep vibratory compaction," *Proceedings of the Seminar on Ground Improvement Methods*, Hong Kong, pp. 61-74 (1994).
4. Senneset, K.; Sandven, R., and Jamnu, N. "The evaluation of soil parameters from piezocene tests," *Transportation Research Record*, (1235), pp. 24-37 (1989).

5. Lunne, T.; Robertson, P.K., and Powell, J.J.M. "Cone penetration testing in geotechnical practice," Blackie Academic & Professional, London (1997).
6. Kjekstad, O.; Lunne, T., and Clausen, C.J.F. "Comparison between in situ cone resistance and laboratory strength for overconsolidated north sea clays," *Marine Geotechnology*, **3**(1), pp. 23-36 (1978).
7. Lunne, T., and Kleven, A. "Role of CPT in north sea foundation engineering," Session at the ASCE National Convention: Cone Penetration Testing and Materials, St. Louis, pp.76-107, American Society of Engineering (ASCE) (1981).
8. Ladd, C.C.; Foott, R.; Ishihara, K.; Schlosser, F., and Poulos, H.G. "Stress- deformation and strength characteristics," *Proceedings og the 9th International Conference on Soil Mechanics and Foundation Engineering*, Tokyo, 2, pp. 421-494 (1977).
9. Bowles, J. E. "Engineering properties of soils and their measurement," 4th ed., McGraw-Hill, New York, (1999).
10. Massarsch, K.R., and Fellenius, B.H. "Vibratory compaction of coarse-grained soils," *Canadian Geotechnical Journal*, **39**(3), pp. 695-709 (2002).
11. Schmertmann, J. H.; Baker, W.; Gupta, R., and Kessler, K. "CPT/DMT of ground modification at a power plant," *Use of in situ tests in geotechnical engineering*, SPT. (6), pp. 985-1001 (1986).
12. Salley, J.R.; Foreman, B.; Baker, W., and Henry, J.F. "Compaction grouting test program Pinopolis West dam," Proc., *Soil Improvement- A 10-Year Update*, ASCE, New York, N.Y. pp. 245-269 (1987).
13. Baker, W.H. "Embankment foundation densification by compaction grouting," Proc., *Issues in Dam Grouting*, W.H. Baker, ed., ASCE, New York, N.Y., pp. 104-122 (1985).
14. Hussin, J. D., and Ali, S. "Soil improvement at the trident submarine facility," Soil Improvement - a ten year update; *Geotech. Spec. Publ.*, (12), J. P. Welsh, ed., ASCE, New York, N.Y., pp. 215-231 (1987).
15. Boulanger, R.W., and Hayden, R.F. "Aspects of compaction grouting of liquefiable soil," *Journal of Geotechnical Engineering*, ASCE, **121**(12), pp. 844-855 (1993).
16. Rollins, K. M.; Jorgensen, S. J., and Ross, T.E. "Optimum moisture content for dynamic compaction of collapsible soils," *Journal of Geotechnical and Geoenvironmental Engineering*, ASCE, **124**(8), pp. 699-708 (1998).
17. Mitchell, J.K., and Solymar, Z.V. "Time-dependent strength gain in freshly deposited or densified sands," *Journal of Geotechnical Engineering*, ASCE, **110**(11), pp. 1559-1576 (1984).
18. Rollins, K.M.; Anderson, J.K.S.; Goughnour, R.R., and Mccain, A.K. "Liquefaction hazard mitigation using vertical composite draines", 13th World Conferences on Earthquake Engineering, paper (2880) (2004).
19. Raju, V.R.; Wegner, R., and Godenzie, D. "Ground improvement using vibro techniques," Proc. of the 4th *Geotech Colloquium*, Darmstadt.Germany, pp. 123-138 (1998).
20. Wheaton, K.H.; Obermeier, S.F., and Stark, T.D. "Strength changes in cohesionless soils due to disturbance," *Seismological Research Letters*, **72**(1), pp. 46-59 (2001).
21. Hayden, R.F., and Welch, C.M. "Design and installation of stone columns at Naval Air station," Testing, ASTM STP 1089, Melvin I, Esrig and Robert C.Bochus, Eds., American Society for Testing and Materials, Philadelphia (1991).
22. Bergado, D.T.; Anderson, L.R., and Balasubramaniam, A.S. "Soft ground improvement in lowland and other environments," New York: ASCE Press (1996).
23. Mayne, P.W.; Jones, J.S., and Dumas, J.C. "Ground response to dynamic compaction," *J. Geotech.Eng.Div ASCE*, **110**(6), pp. 757-774 (1984).
24. Marandi, M., Bagheripoor, M.H., and Mohammadizadeh, M. "Standard penetration tests field operation and liquefaction potential control." First Ground Improvement Conference Amirkabir University of Technology (1380).
25. Petridis, P. M.; Stamatopoulos, C. A., and Stamatopoulos, A. R. "Soil improvement by preloading of two erratic sites," Proc. 2nd Inter. Conf.on Ground Improvement Techniques, Singapore, pp. 93-100 (2000).
26. Na, Y.M.; Choa, V.; The, C.I., and Chang, M.F. "Geotechnical parameters of reclaimed landfill from the cone penetration test," *Canadian Geotechnical Journal*, **42**(1), pp. 91-109 (2004).
27. Woeller, D.J.; Boyd, T.J.; Greig, T.W.; Rabertson, P.K., and Beaton, N.R. "In-situ tests for evaluating ground treatment techniques," *Proceedings of the 48th Canadian Geotechnical Conference*, Vancouver, Canadian Geotechnical Society (1995).
28. Eslami, A., and Fellenius, B.H. "CPT and CPTu data for soil profile interpretation: review of methods and a proposed new approach," *Iranian Journal of Science & Technology, Transaction B*, **28**(B1), pp. 69-86 (2004).
29. Meyerhoff, G.G. "Penetration tests and bearing capacity of cohesionless soils," ASCE, *Journal of Geotechnical Engineering*, **82**(1), 866/1-886/19 (1956).
30. Durgunlu, H.T., and Mitchell, J.K. "Penetration tests of cohesion soils," *Proceedings, ASCE, Speciality Conference on In-Situ Measurements of Soil Parameters*, Raleigh, **1** (1975).

